

Badania *in silico* struktury wybranych białek błonowych oraz specyfiki ich oddziaływania z biomolekułami tworzącymi z nimi kompleksy o potencjale terapeutycznym

Magdalena J. Ślusarz

## Publikacje wchodzące w skład osiągnięcia:

- H1.** Ślusarz MJ Sikorska E, Ślusarz R, Ciarkowski J. Molecular docking-based study of vasopressin analogues modified at positions 2 and 3 with N-methylphenylalanine: Influence on receptor-bound conformations and interactions with vasopressin and oxytocin receptors, *Journal of Medicinal Chemistry*, 2006, 49, 2463–2469. IF = 5,115
- H2.** Ślusarz R., Sikorska E., Ślusarz M.J., Theoretical study on interactions of bicyclic vasopressin analogues with human neurohypophyseal hormone receptors, *QSAR & Combinatorial Science*, 2008, 27, 834-840. IF = 2,594
- H3.** Ślusarz R., Ślusarz M.J., An influence of the aromatic side chains conformations in positions 2 and 3 of vasopressin analogs on interactions with vasopressin and oxytocin receptors, *QSAR & Combinatorial Science*, 2009, 28, 1166-1175. IF = 3,027
- H4.** Ślusarz MJ.: Molecular modeling study of the opioid receptor interactions with series of cyclic deltorphin analogues, *Journal of Peptide Science*, 2011, 17, 554-564. IF = 1,799
- H5.** Ślusarz MJ, Sikorska E., Ślusarz R.: Interactions of vasopressin and oxytocin receptors with vasopressin analogues substituted in position 2 with 3,3'-diphenylalanine - a molecular docking study, *Journal of Peptide Science*, 2013, 19, 118-126. IF = 1,862
- H6.** Karska N., Graul M., Sikorska E., Zhukov I., Ślusarz MJ., Kasprzykowski F., Lipińska A., Rodziewicz-Motowidło S.: Structure determination of UL49.5 transmembrane protein from bovine herpesvirus 1 by NMR spectroscopy and molecular dynamics, *Biochimica et Biophysica Acta - Biomembranes*, 2019, 1861, 926-938. IF = 3,411
- H7.** Karska N., Graul M., Sikorska E., Ślusarz MJ., Zhukov I., Kasprzykowski F., Kubiś A., Lipińska A., Rodziewicz-Motowidło S.: Investigation of the effects of primary structure modifications within the RRE motif on the conformation of synthetic bovine herpesvirus 1-encoded UL49.5 protein fragments, *Chemistry & Biodiversity*, 2021, 18, e2000883. IF = 2,745
- H8.** Ślusarz MJ., Molecular insights into the mechanism of the sugar-modified enkephalin binding to the opioid receptors, *Computational Biology and Chemistry*, 2022, 101, 107783. IF = 3,100
- H9.** Ślusarz MJ, How kelch domain-containing protein 3 distinguishes between the C-end degron of bovine viral protein UL49.5 and its mutants – insights from a molecular dynamics, *Bioorganic and Medicinal Chemistry*, 2024, 109, 117795. IF = 3,300
- H10.** Ślusarz MJ, Ślusarz MJ., Lipińska AD. An intrinsic network of polar interactions is responsible for binding of UL49.5 C-degron by the CRL2KLHDC3 ubiquitin ligase, *Proteins: Structure, Function and Bioinformatics*, 2024, 92, 610-622. IF = 3,200
-

## Publikacje wchodzące w skład osiągnięcia:

- H1.** Ślusarz MJ Sikorska E, Ślusarz R, Ciarkowski J. Molecular docking-based study of vasopressin analogues modified at positions 2 and 3 with N-methylphenylalanine: Influence on receptor-bound conformations and interactions with vasopressin and oxytocin receptors, *Journal of Medicinal Chemistry*, 2006, 49, 2463–2469. IF = 5,115
- H2.** Ślusarz R., Sikorska E., Ślusarz M.J., Theoretical study on interactions of bicyclic vasopressin analogues with human neurohypophyseal hormone receptors, *QSAR & Combinatorial Science*, 2008, 27, 834-840. IF = 2,594
- H3.** Ślusarz R., Ślusarz M.J., An influence of the aromatic side chains conformations in positions 2 and 3 of vasopressin analogs on interactions with vasopressin and oxytocin receptors, *QSAR & Combinatorial Science*, 2009, 28, 1166-1175. IF = 3,027
- H4.** Ślusarz MJ.: Molecular modeling study of the opioid receptor interactions with series of cyclic deltorphin analogues, *Journal of Peptide Science*, 2011, 17, 554-564. IF = 1,799
- H5.** Ślusarz MJ, Sikorska E., Ślusarz R.: Interactions of vasopressin and oxytocin receptors with vasopressin analogues substituted in position 2 with 3,3'-diphenylalanine - a molecular docking study, *Journal of Peptide Science*, 2013, 19, 118-126. IF = 1,862
- H6.** Karska N., Graul M., Sikorska E., Zhukov I., Ślusarz MJ., Kasprzykowski F., Lipińska A., Rodziewicz-Motowidło S.: Structure determination of UL49.5 transmembrane protein from bovine herpesvirus 1 by NMR spectroscopy and molecular dynamics, *Biochimica et Biophysica Acta - Biomembranes*, 2019, 1861, 926-938. IF = 3,411
- H7.** Karska N., Graul M., Sikorska E., Ślusarz MJ., Zhukov I., Kasprzykowski F., Kubiś A., Lipińska A., Rodziewicz-Motowidło S.: Investigation of the effects of primary structure modifications within the RRE motif on the conformation of synthetic bovine herpesvirus 1-encoded UL49.5 protein fragments, *Chemistry & Biodiversity*, 2021, 18, e2000883. IF = 2,745
- H8.** Ślusarz MJ., Molecular insights into the mechanism of the sugar-modified enkephalin binding to the opioid receptors, *Computational Biology and Chemistry*, 2022, 101, 107783. IF = 3,100
- H9.** Ślusarz MJ, How kelch domain-containing protein 3 distinguishes between the C-end degron of bovine viral protein UL49.5 and its mutants – insights from a molecular dynamics, *Bioorganic and Medicinal Chemistry*, 2024, 109, 117795. IF = 3,300
- H10.** Ślusarz MJ, Ślusarz MJ., Lipińska AD. An intrinsic network of polar interactions is responsible for binding of UL49.5 C-degron by the CRL2KLHDC3 ubiquitin ligase, *Proteins: Structure, Function and Bioinformatics*, 2024, 92, 610-622. IF = 3,200

# Badane białka błonowe

RECEPTORY WAZOPRESYNY I OKSYTOCYNY  
V1aR, V2R, OTR

RECEPTORY OPIOIDOWE  
MOR ( $\mu$ ), DOR ( $\delta$ )

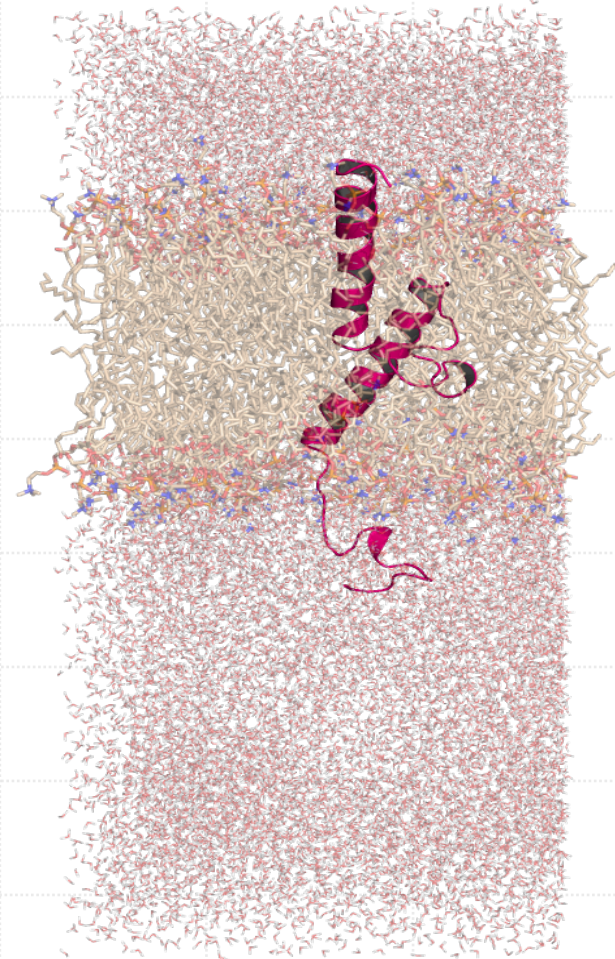
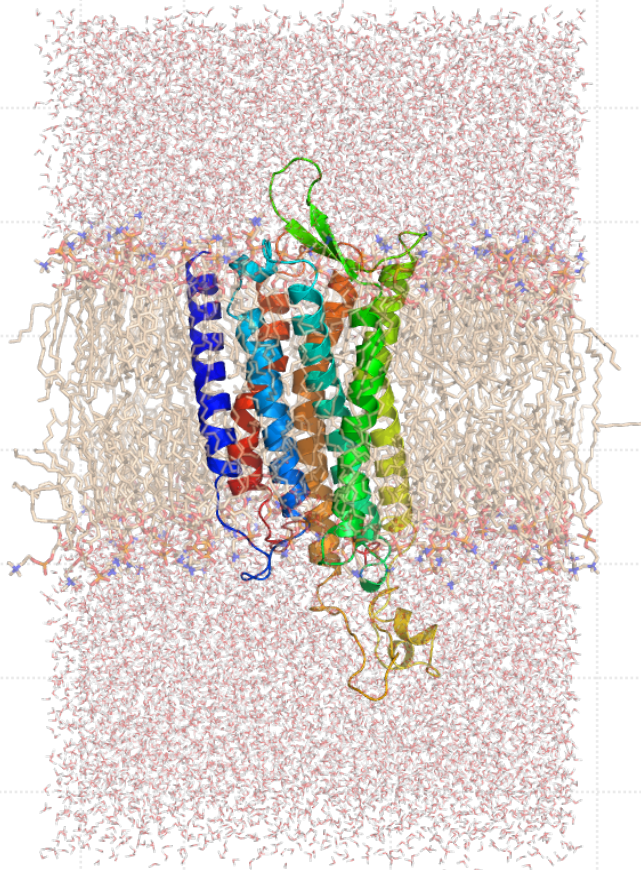
BIAŁKO UL49.5

H1–H5, H8

H6–H7, H9–H10

Receptory sprzężone  
z białkiem G (GPCR)

Białko wirusowe



# Przedmiot badań

## RECEPTORY WAZOPRESYNY I OKSYTOCYNY V1aR, V2R, OTR

[D-MePhe<sup>2,3</sup>]AVP  
 [D-MePhe<sup>2</sup>,MePhe<sup>3</sup>]AVP  
 [MePhe<sup>2</sup>,D-MePhe<sup>3</sup>]AVP  
 [MePhe<sup>2,3</sup>]AVP  
 c-(4-9)-[Mpa<sup>1</sup>, Lys<sup>4</sup>]AVP  
 c-(4-9)-[Mpa<sup>1</sup>, Orn<sup>4</sup>]AVP  
 c-(4-9)-[Mpa<sup>1</sup>, Dab<sup>4</sup>]AVP  
 c-(4-9)-[Mpa<sup>1</sup>, Dap<sup>4</sup>]AVP  
 [Mpa<sup>1</sup>,Dpa<sup>2</sup>,Val<sup>4</sup>,D-Arg<sup>8</sup>]VP  
 [Mpa<sup>1</sup>,D-Dpa<sup>2</sup>,Val<sup>4</sup>,D-Arg<sup>8</sup>]VP  
 [D-Dpa<sup>2</sup>,D-Arg<sup>8</sup>]VP  
 [Mpa<sup>1</sup>,D-Dpa<sup>2</sup>,D-Arg<sup>8</sup>]VP

[Aic<sup>2</sup>]AVP  
 [Mpa<sup>1</sup>,Aic<sup>2</sup>]AVP  
 [Aic<sup>2</sup>,D-Arg<sup>8</sup>]VP  
 [Mpa<sup>1</sup>,Aic<sup>2</sup>,D-Arg<sup>8</sup>]VP  
 [Aic<sup>2</sup>,Val<sup>4</sup>]AVP  
 [Mpa<sup>1</sup>,Aic<sup>2</sup>,Val<sup>4</sup>,D-Arg<sup>8</sup>]VP  
 [Aic<sup>3</sup>]AVP  
 [Mpa<sup>1</sup>,Aic<sup>3</sup>]AVP  
 [Aic<sup>3</sup>,D-Arg<sup>8</sup>]VP

## RECEPTORY OPIOIDOWE MOR (μ), DOR (δ)

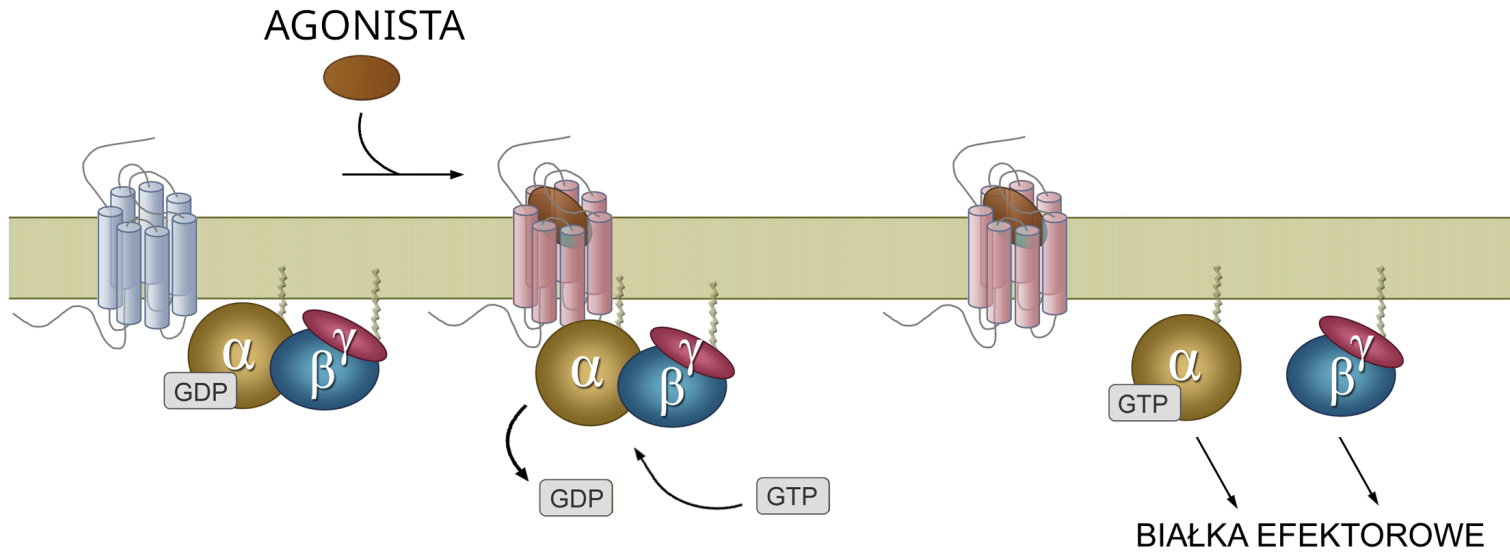
c-(2-4)-Tyr<sup>1</sup>-Lys<sup>2</sup>-Phe<sup>3</sup>-Dab<sup>4</sup>-Val<sup>5</sup>-Val<sup>6</sup>-Gly<sup>7</sup>-NH<sub>2</sub>      Leu<sup>5</sup>-ENK  
 c-(2-4)-Tyr<sup>1</sup>-Lys<sup>2</sup>-Phe<sup>3</sup>-Dap<sup>4</sup>-Val<sup>5</sup>-Val<sup>6</sup>-Gly<sup>7</sup>-NH<sub>2</sub>      Leu<sup>5</sup>-ENK-GlcA  
 c-(2-4)-Tyr<sup>1</sup>-Orn<sup>2</sup>-Phe<sup>3</sup>-Dap<sup>4</sup>-Val<sup>5</sup>-Val<sup>6</sup>-Gly<sup>7</sup>-NH<sub>2</sub>  
 c-(2-4)-Tyr<sup>1</sup>-Lys<sup>2</sup>-Phe<sup>3</sup>-Orn<sup>4</sup>-Val<sup>5</sup>-Val<sup>6</sup>-Gly<sup>7</sup>-NH<sub>2</sub>  
 c-(2-4)-Tyr<sup>1</sup>-D-Orn<sup>2</sup>-Phe<sup>3</sup>-Orn<sup>4</sup>-Val<sup>5</sup>-Val<sup>6</sup>-Gly<sup>7</sup>-NH<sub>2</sub>  
 c-(2-4)-Tyr<sup>1</sup>-Lys<sup>2</sup>-Phe<sup>3</sup>-Dab<sup>4</sup>-NH<sub>2</sub>  
 c-(2-4)-Tyr<sup>1</sup>-Lys<sup>2</sup>-Phe<sup>3</sup>-Dap<sup>4</sup>-NH<sub>2</sub>  
 c-(2-4)-Tyr<sup>1</sup>-Orn<sup>2</sup>-Phe<sup>3</sup>-Dap<sup>4</sup>-NH<sub>2</sub>  
 c-(2-4)-Tyr<sup>1</sup>-Lys<sup>2</sup>-Phe<sup>3</sup>-Orn<sup>4</sup>-NH<sub>2</sub>  
 c-(2-4)-Tyr<sup>1</sup>-D-Orn<sup>2</sup>-Phe<sup>3</sup>-Orn<sup>4</sup>-NH<sub>2</sub>

### BIAŁKO UL49.5

MUTANTY: E11G, RRE(9-11)GGG, RRE(9-11)AAA, R95K, R93K, R96D

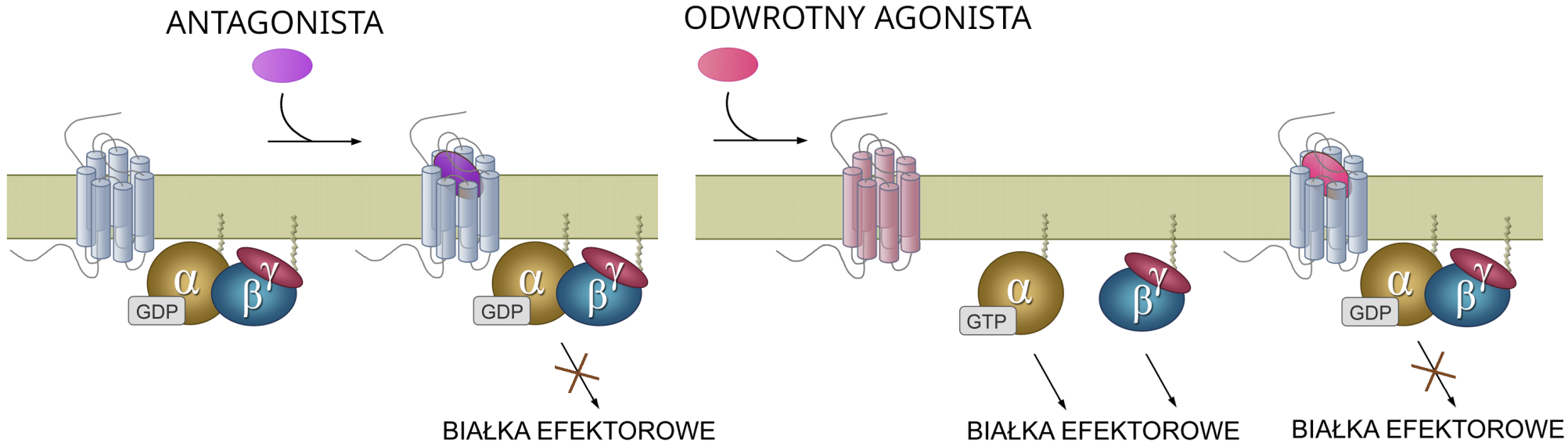
KLHDC3

# Receptory sprzężone z białkiem G (GPCR)



V1aR → presyjne  
V2R → antydiuretyczne  
OTR → tokolityczne; galaktokinetyczne

MOR ( $\mu$ ) → analgetyczne  
DOR ( $\delta$ ) → analgetyczne



# Receptory sprzężone z białkiem G (GPCR) → potencjał terapeutyczny

## V2R

- moczówka prosta ośrodkowa
- moczenie nocne
- zespół Schwartz-Bartera
- moczówka prosta nerkowa (AVPR2)

## V1aR

- zespół wątrobowo nerkowy
- silne krwawienia

## OTR

- wywoływanie/hamowanie akcji porodowej
- niedorozwój mięśnia sercowego

## MOR ( $\mu$ ) DOR ( $\delta$ )

- umiarkowany i silny ból
- kaszel

### Efekty uboczne:

- tolerancja
- uzależnienie
- zaburzenia oddychania
- nudności
- wymioty
- zaparcia

**EPIDEMIA  
OPIOIDOWA**

[D-MePhe<sup>2,3</sup>]AVP

[D-MePhe<sup>2</sup>,MePhe<sup>3</sup>]AVP

[MePhe<sup>2</sup>,D-MePhe<sup>3</sup>]AVP

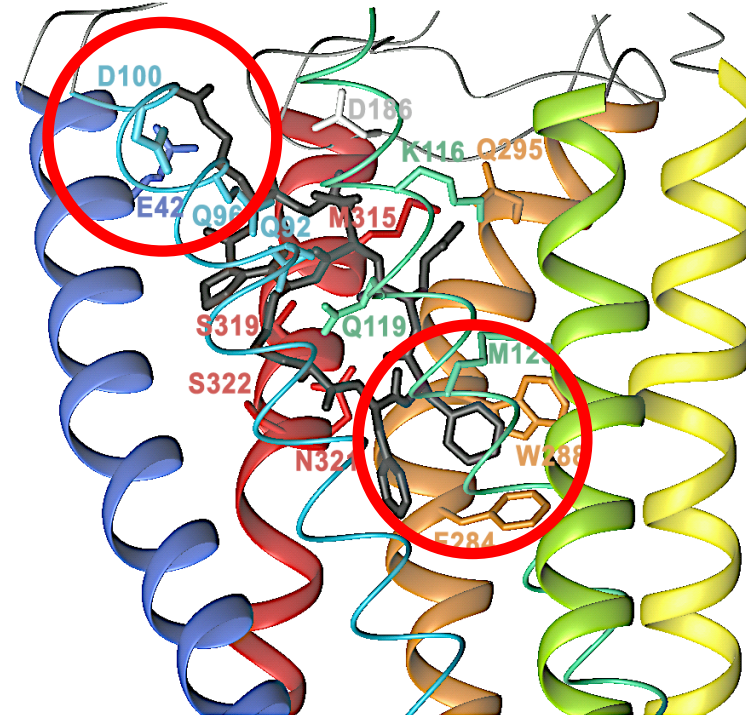
[MePhe<sup>2,3</sup>]AVP

**N-metylo-L/D-fenylalanina**

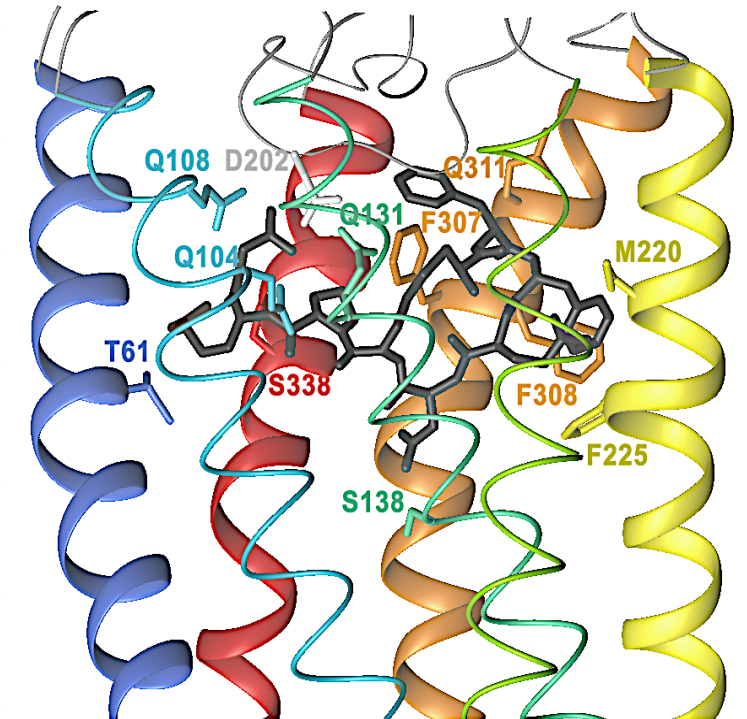
DZIAŁANIE ANTAGONISTYCZNE

Słabe oddziaływanie z V2 → (D/K2.65)

Oddziaływanie z TM6 → krytyczne



**OTR - [D-MePhe<sup>2</sup>,MePhe<sup>3</sup>]AVP**



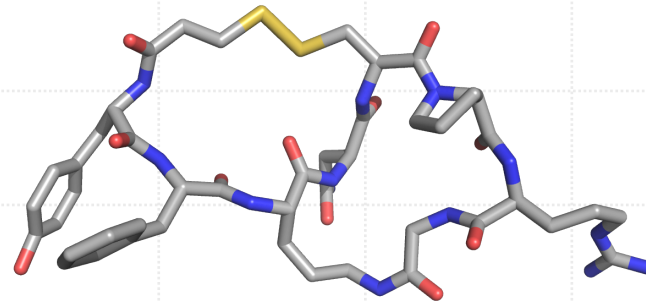
**V1aR - [D-MePhe<sup>2,3</sup>]AVP**

LIGAND / pA <sub>2</sub>	OTR	V1aR	V2R
[D-MePhe <sup>2,3</sup> ]AVP	6.4	0	0
[D-MePhe <sup>2</sup> ,MePhe <sup>3</sup> ]AVP	6.6	<sup>1</sup> 5.8	0
[MePhe <sup>2</sup> ,D-MePhe <sup>3</sup> ]AVP	0	0	0
[MePhe <sup>2,3</sup> ]AVP	0	0	0

# H2

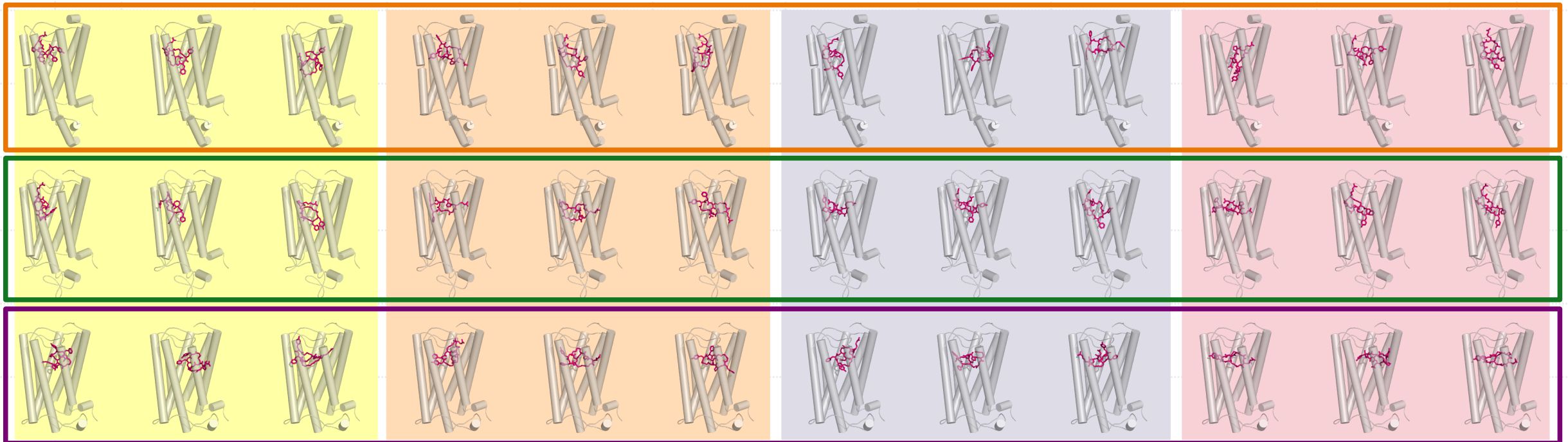
## Receptory wazopresyny i oksytocyny

- c-(4-9)-[Mpa<sup>1</sup>, Lys<sup>4</sup>]AVP
- c-(4-9)-[Mpa<sup>1</sup>, Orn<sup>4</sup>]AVP
- c-(4-9)-[Mpa<sup>1</sup>, Dab<sup>4</sup>]AVP
- c-(4-9)-[Mpa<sup>1</sup>, Dap<sup>4</sup>]AVP



Brak ważnych oddziaływań kotwiczących  
 Brak preferencji ułożenia w kieszeni receptora, orientacja ↓  
 Analog 2 – wielkość pierścienia akceptowalna → modyfikacje

### cyklizacja 4-9



c-(4-9)-[Mpa<sup>1</sup>, Lys<sup>4</sup>]AVP

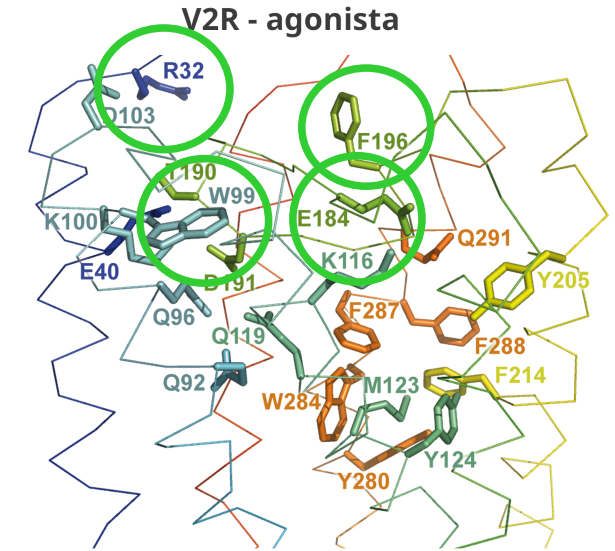
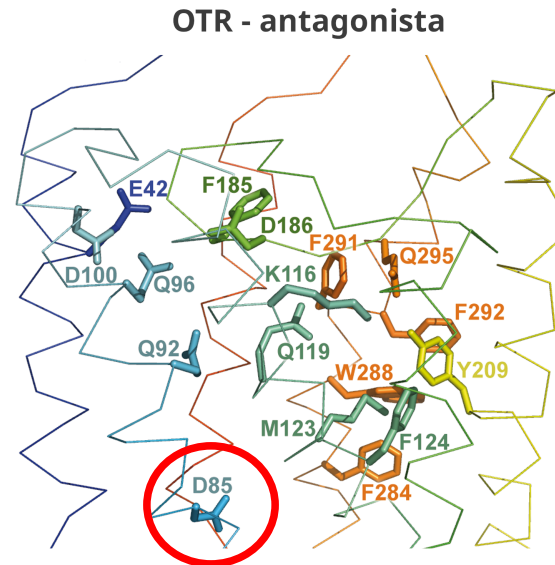
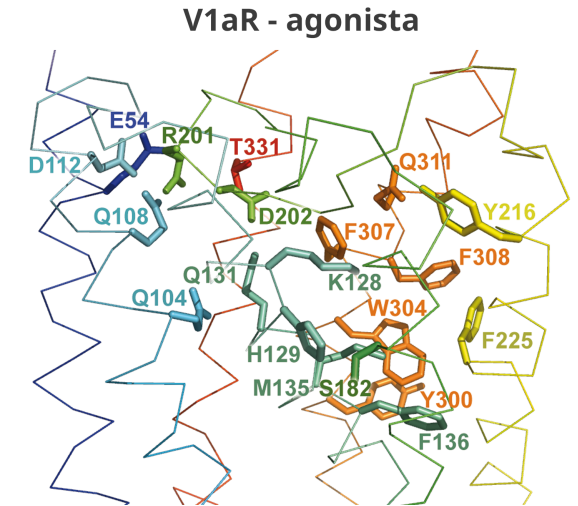
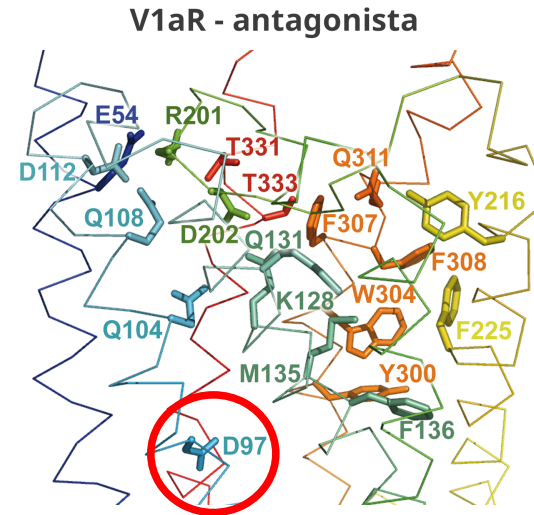
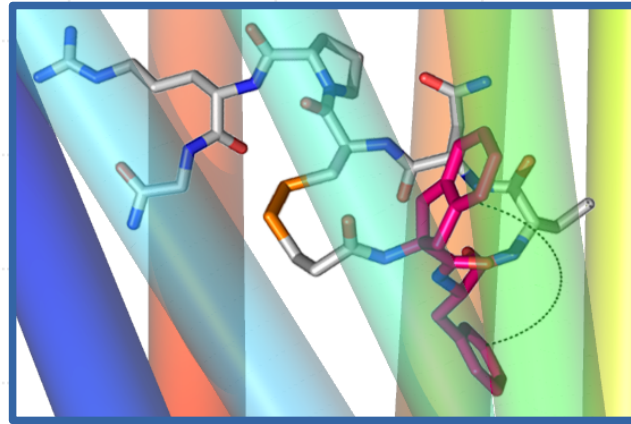
c-(4-9)-[Mpa<sup>1</sup>, Orn<sup>4</sup>]AVP

c-(4-9)-[Mpa<sup>1</sup>, Dab<sup>4</sup>]AVP

c-(4-9)-[Mpa<sup>1</sup>, Dap<sup>4</sup>]AVP

## Receptory wazopresyny i oksytocyny

- [Aic<sup>2</sup>]AVP
- [Mpa<sup>1</sup>,Aic<sup>2</sup>]AVP
- [Aic<sup>2</sup>,D-Arg<sup>8</sup>]VP
- [Mpa<sup>1</sup>,Aic<sup>2</sup>,D-Arg<sup>8</sup>]VP
- [Aic<sup>2</sup>,Val<sup>4</sup>]AVP
- [Mpa<sup>1</sup>,Aic<sup>2</sup>,Val<sup>4</sup>,D-Arg<sup>8</sup>]VP
- Aic<sup>3</sup>]AVP
- [Mpa<sup>1</sup>,Aic<sup>3</sup>]AVP
- [Aic<sup>3</sup>,D-Arg<sup>8</sup>]VP



### kwas 2-aminoindano-2-karboksylowy

### DZIAŁANIE ANTAGONISTYCZNE/AGONISTYCZNE

Utrata aktywności po podstawieniu Aic w pozycji 3

analogue	oxytotic	pressor	antidiuretic
AVP	17	412	465
[Aic <sup>2</sup> ]AVP	pA <sub>2</sub> = 7.27 ± 0.22	9.4 ± 2.8	~450 (45 000)
[Mpa <sup>1</sup> ,Aic <sup>2</sup> ]AVP	pA <sub>2</sub> = 7.50 ± 0.16	5.3 ± 2.5	~450 (45 000)
[Aic <sup>2</sup> ,D-Arg <sup>8</sup> ]VP	pA <sub>2</sub> = 6.86 ± 0.17	0	~45 (4500)
[Mpa <sup>1</sup> ,Aic <sup>2</sup> ,D-Arg <sup>8</sup> ]VP	pA <sub>2</sub> = 7.31 ± 0.25	pA <sub>2</sub> = 5.60	~450 (45 000)
[Aic <sup>2</sup> ,Val <sup>4</sup> ]AVP	pA <sub>2</sub> = 7.93 ± 0.17	0	~450 (45 000)
[Mpa <sup>1</sup> ,Aic <sup>2</sup> ,Val <sup>4</sup> ,D-Arg <sup>8</sup> ]VP	pA <sub>2</sub> = 8.06 ± 0.11	pA <sub>2</sub> = 6.25	~4500 (450 000)

[Mpa<sup>1</sup>,Dpa<sup>2</sup>,Val<sup>4</sup>,D-Arg<sup>8</sup>]VP

[Mpa<sup>1</sup>,D-Dpa<sup>2</sup>,Val<sup>4</sup>,D-Arg<sup>8</sup>]VP

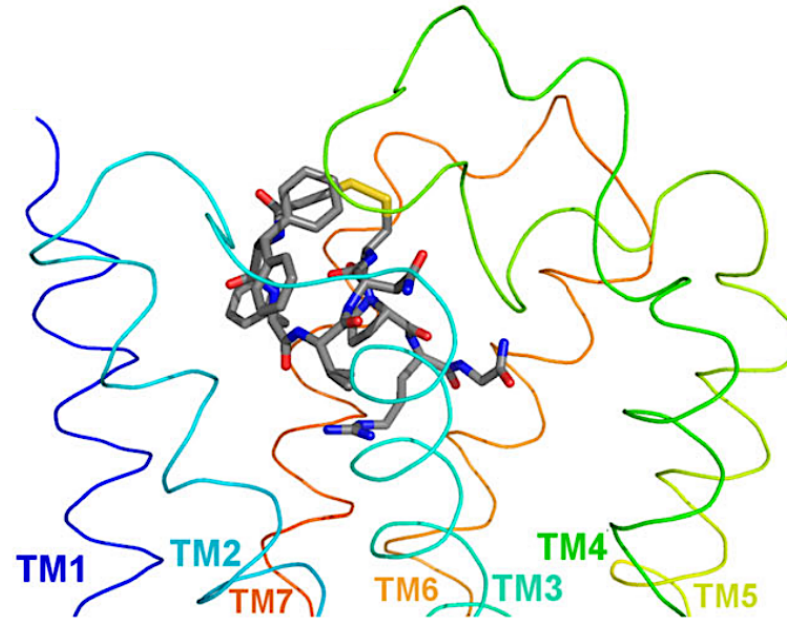
[D-Dpa<sup>2</sup>,D-Arg<sup>8</sup>]VP

[Mpa<sup>1</sup>,D-Dpa<sup>2</sup>,D-Arg<sup>8</sup>]VP

L/D-difenyloalanina

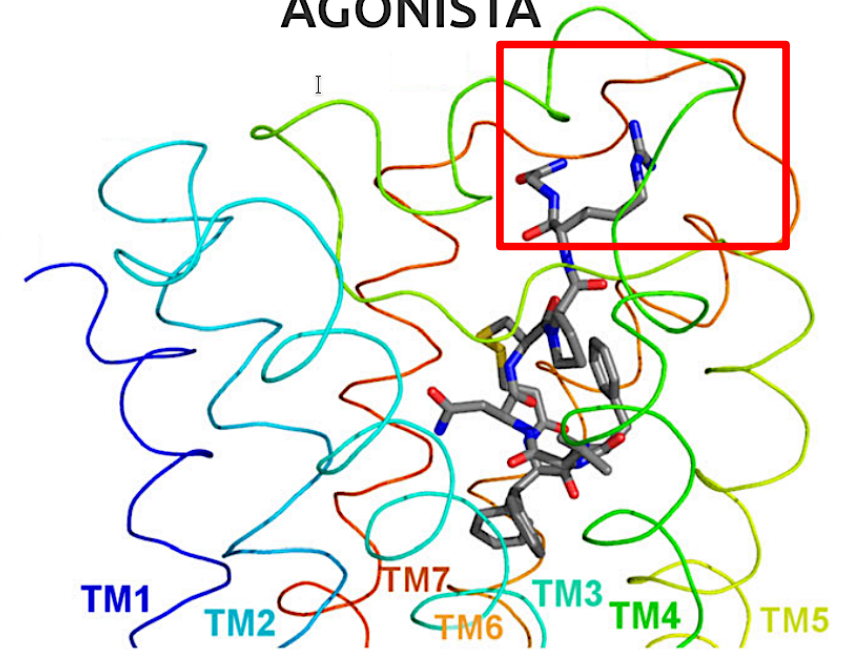
DZIAŁANIE ANTAGONISTYCZNE  
/AGONISTYCZNE

### ANTAGONISTA



OTR - [Mpa<sup>1</sup>,D-Dpa<sup>2</sup>,Val<sup>4</sup>,D-Arg<sup>8</sup>]VP

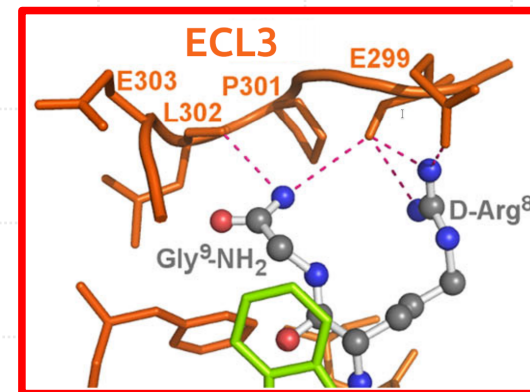
### AGONISTA



V2R - [Mpa<sup>1</sup>,D-Dpa<sup>2</sup>,Val<sup>4</sup>,D-Arg<sup>8</sup>]VP

V1aR – brak aktywności

	OTR [pA <sub>2</sub> ]	V1aR [pA <sub>2</sub> ]	V2R (IU/mg)
[Mpa <sup>1</sup> ,Dpa <sup>2</sup> ,Val <sup>4</sup> ,D-Arg <sup>8</sup> ]VP (I)	0.24 ± 0.12	0	100
[Mpa <sup>1</sup> ,D-Dpa <sup>2</sup> ,Val <sup>4</sup> ,D-Arg <sup>8</sup> ]VP (II)	7.78 ± 0.08	<5.8	9000
[D-Dpa <sup>2</sup> ,D-Arg <sup>8</sup> ]VP (III)	7.83 ± 0.08	0	1000
[Mpa <sup>1</sup> ,D-Dpa <sup>2</sup> ]VP (IV)	7.80 ± 0.14	0	4500
AVP	17	412	450

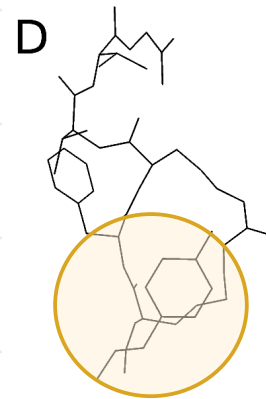
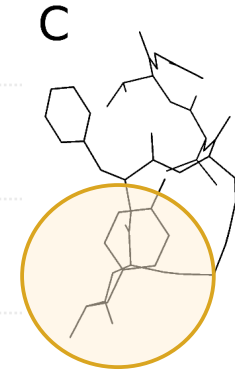


# H4

- c-(2-4)-Tyr<sup>1</sup>-Lys<sup>2</sup>-Phe<sup>3</sup>-Dab<sup>4</sup>-Val<sup>5</sup>-Val<sup>6</sup>-Gly<sup>7</sup>-NH<sub>2</sub>
- c-(2-4)-Tyr<sup>1</sup>-Lys<sup>2</sup>-Phe<sup>3</sup>-Dap<sup>4</sup>-Val<sup>5</sup>-Val<sup>6</sup>-Gly<sup>7</sup>-NH<sub>2</sub>
- c-(2-4)-Tyr<sup>1</sup>-Orn<sup>2</sup>-Phe<sup>3</sup>-Dap<sup>4</sup>-Val<sup>5</sup>-Val<sup>6</sup>-Gly<sup>7</sup>-NH<sub>2</sub>
- c-(2-4)-Tyr<sup>1</sup>-Lys<sup>2</sup>-Phe<sup>3</sup>-Orn<sup>4</sup>-Val<sup>5</sup>-Val<sup>6</sup>-Gly<sup>7</sup>-NH<sub>2</sub>
- c-(2-4)-Tyr<sup>1</sup>-D-Orn<sup>2</sup>-Phe<sup>3</sup>-Orn<sup>4</sup>-Val<sup>5</sup>-Val<sup>6</sup>-Gly<sup>7</sup>-NH<sub>2</sub>
- c-(2-4)-Tyr<sup>1</sup>-Lys<sup>2</sup>-Phe<sup>3</sup>-Dab<sup>4</sup>-NH<sub>2</sub>
- c-(2-4)-Tyr<sup>1</sup>-Lys<sup>2</sup>-Phe<sup>3</sup>-Dap<sup>4</sup>-NH<sub>2</sub>
- c-(2-4)-Tyr<sup>1</sup>-Orn<sup>2</sup>-Phe<sup>3</sup>-Dap<sup>4</sup>-NH<sub>2</sub>
- c-(2-4)-Tyr<sup>1</sup>-Lys<sup>2</sup>-Phe<sup>3</sup>-Orn<sup>4</sup>-NH<sub>2</sub>
- c-(2-4)-Tyr<sup>1</sup>-D-Orn<sup>2</sup>-Phe<sup>3</sup>-Orn<sup>4</sup>-NH<sub>2</sub>

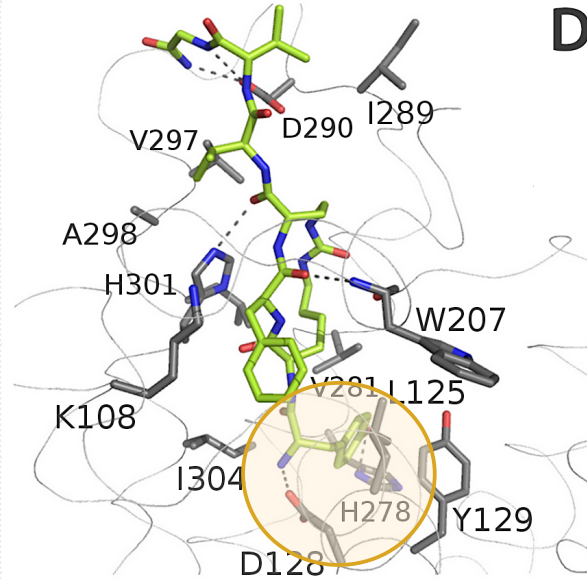
## deltorfina: Tyr-D-Ala-Phe-Asp/Glu-Val-Val-Gly-NH<sub>2</sub>

Ligand	Daa <sup>2</sup>	Daa <sup>4</sup>	GPI IC <sub>50</sub> (nM)	MVD IC <sub>50</sub> (nM)	GPI/MVD ratio
<b>A</b>	Lys	Dab	65.4 ± 9.6	0.640 ± 0.043	102
<b>B</b>	Lys	Dap	25.4 ± 2.0	0.483 ± 0.065	52.6
<b>C</b>	Orn	Dap	>10,000	27.1 ± 3.1	>369
<b>D</b>	Lys	Orn	>10,000	67.0 ± 6.9	>149
<b>E</b>	Orn	Orn	159 ± 23	0.814 ± 0.054	88
<b>a</b>	Lys	Dab	1.17 ± 0.25	5.02 ± 1.39	4.29
<b>b</b>	Lys	Dap	4.15 ± 0.36	19.5 ± 2.3	4.70
<b>c</b>	Orn	Dap	3.37 ± 0.09	7.76 ± 1.27	2.30
<b>d</b>	Lys	Orn	15.6 ± 1.6	47.1 ± 3.5	3.01
<b>e</b>	Orn	Orn	4.77 ± 0.71	11.4 ± 1.5	2.39
[Leu <sup>5</sup> ]enk			246 ± 39	11.4 ± 1.1	21.4

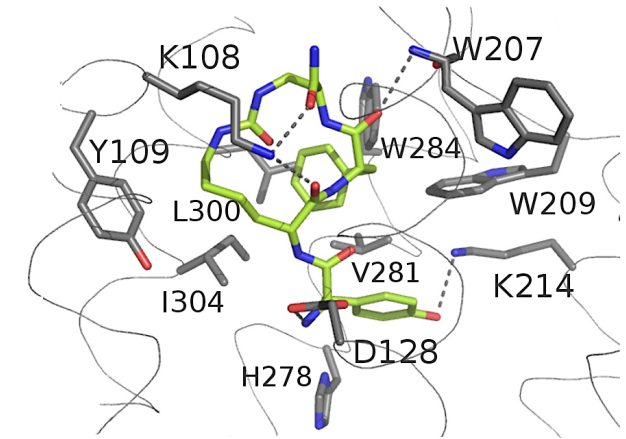


**D3.32**

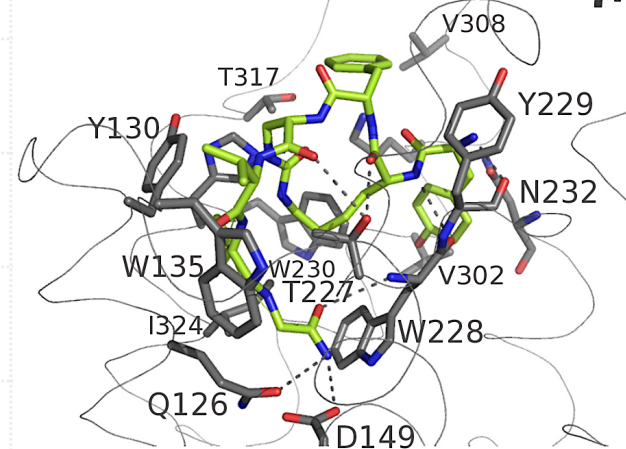
## Receptory opioidowe



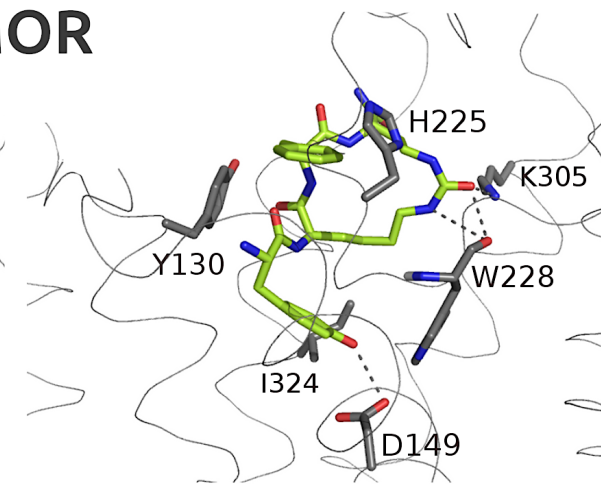
### DOR



### MOR



### HEPTA-



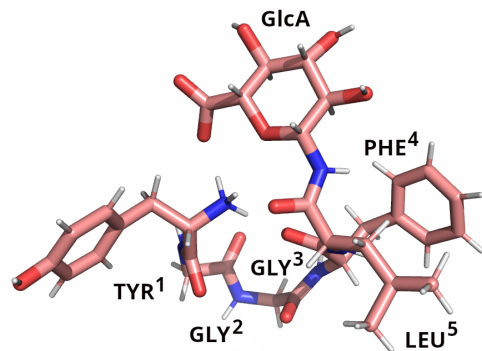
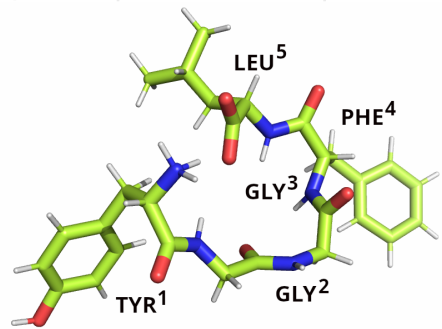
### TETRA-

# H8

Leu<sup>5</sup>-ENK

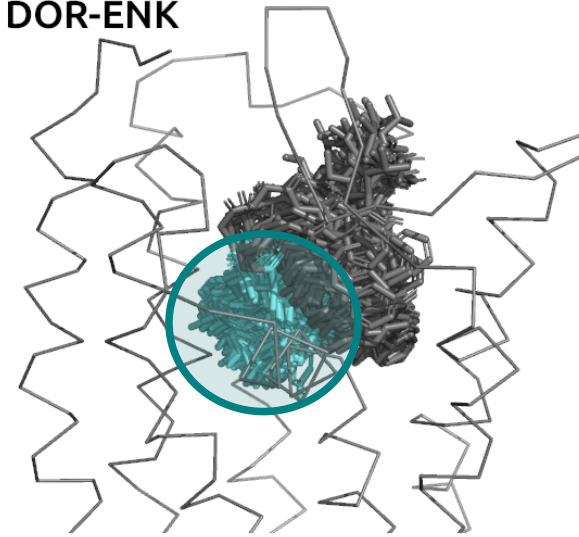
Leu<sup>5</sup>-ENK-GlcA

kwas β-D-glukuronowy

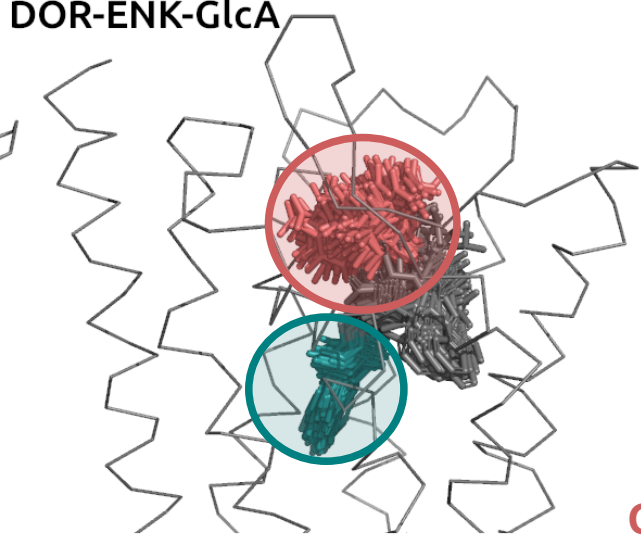


## Receptory opioidowe

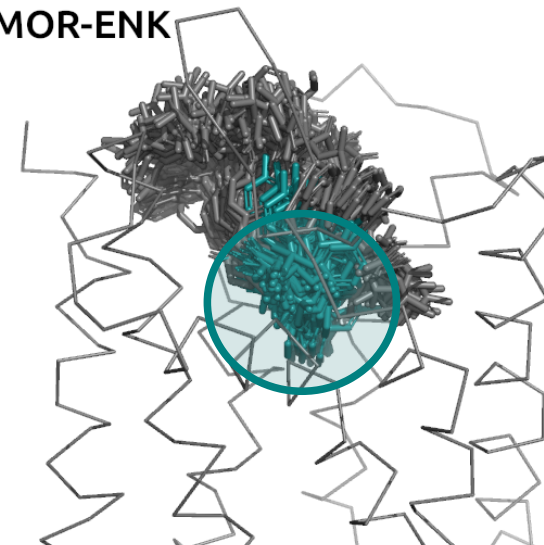
DOR-ENK



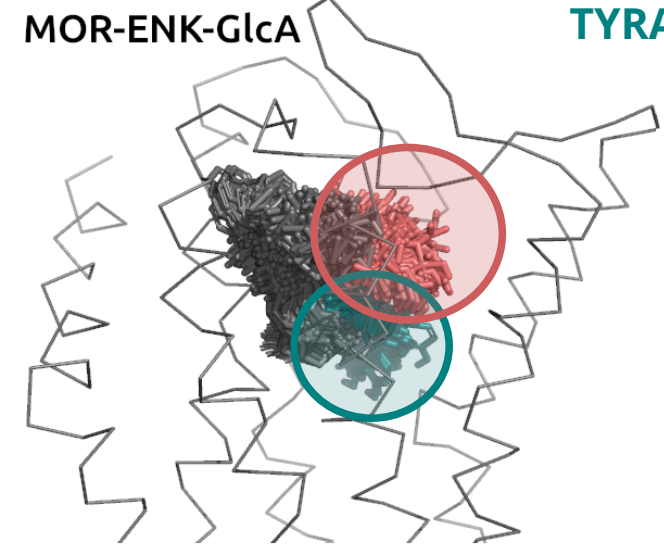
DOR-ENK-GlcA



MOR-ENK



MOR-ENK-GlcA



GlcA  
TYRAMINA

Testy GPII MVD:

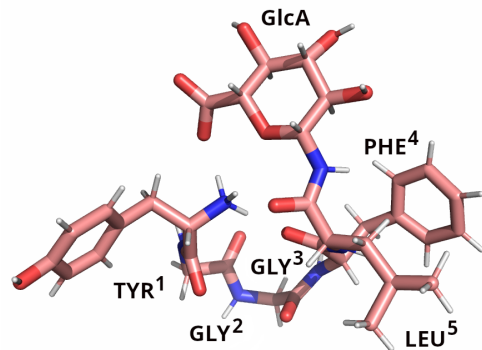
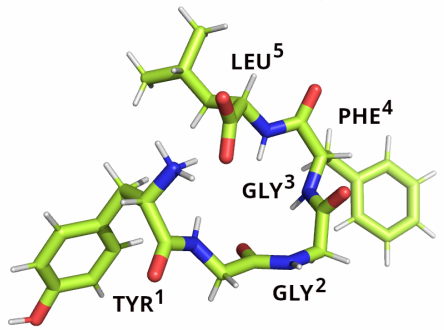
Leu<sup>5</sup>-ENK-GlcA 40 razy bardziej aktywny niż Leu<sup>5</sup>-ENK; ↑ selektywność

# H8

Leu<sup>5</sup>-ENK

Leu<sup>5</sup>-ENK-GlcA

kwasy β-D-glukuronowe

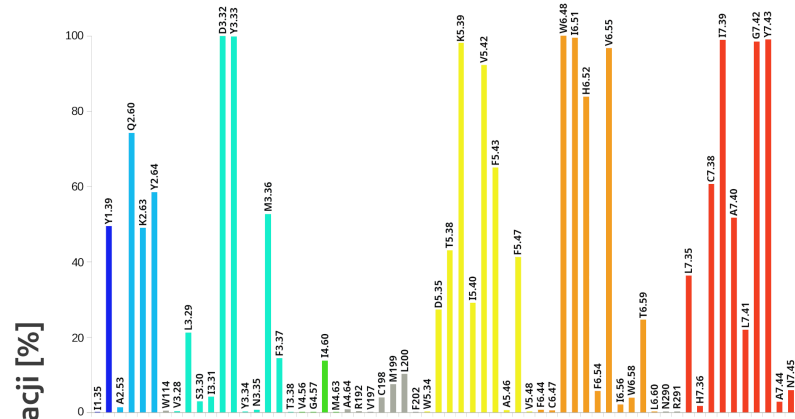


## Receptory opioidowe

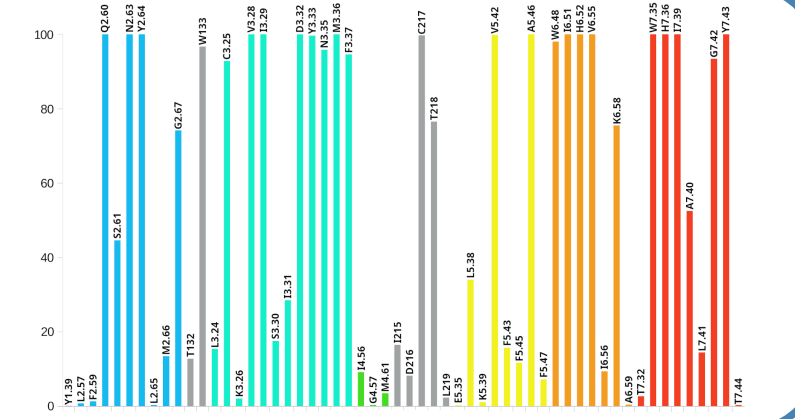
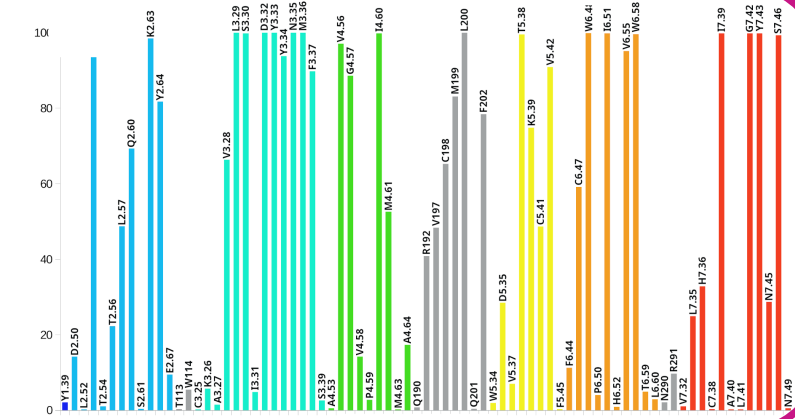
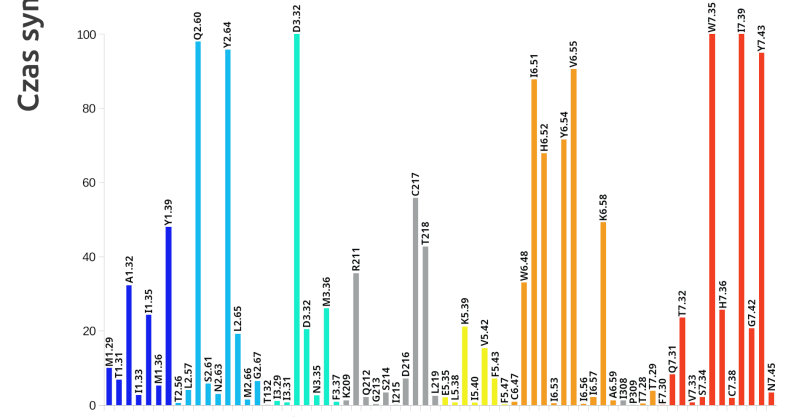
Leu<sup>5</sup>-ENK

Leu<sup>5</sup>-ENK-GlcA

DOR



MOR



Reszty aminokwasowe receptora

Testy GPI I MVD:

Leu<sup>5</sup>-ENK-GlcA 40 razy bardziej aktywny niż Leu<sup>5</sup>-ENK; ↑ selektywność

# H8

Leu<sup>5</sup>-ENK

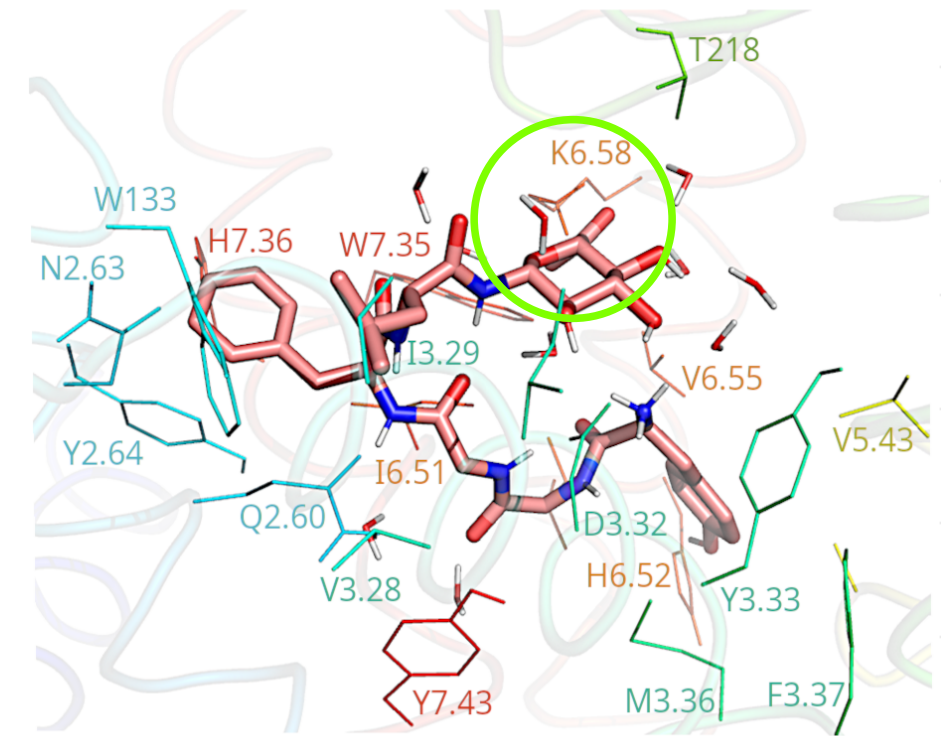
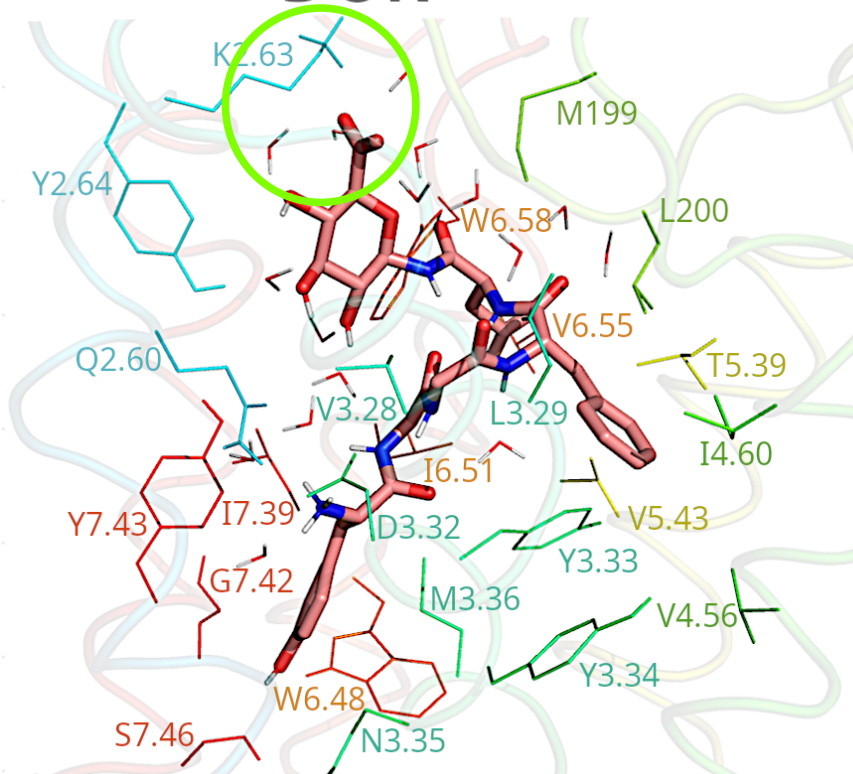
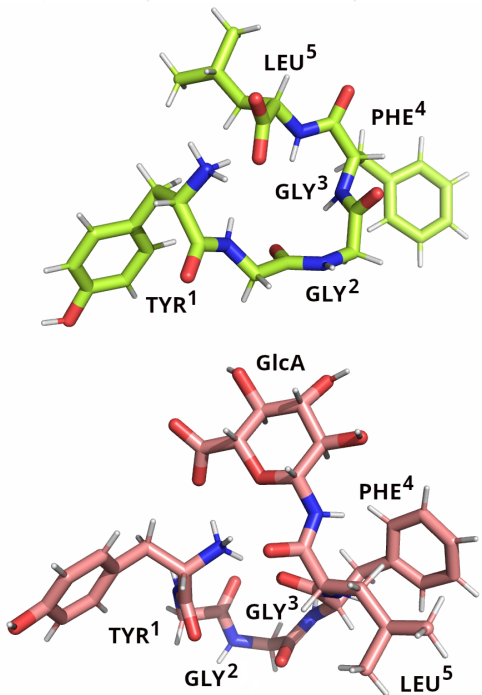
Leu<sup>5</sup>-ENK-GlcA

kwas β-D-glukuronowy

# Receptory opioidowe

## DOR

## MOR



DLACZEGO WYŻSZA SELEKTYWNOŚĆ ENK-GlcA:

**K2.63/N2.63 vs W6.58/K6.58**

Testy GPI I MVD:

Leu<sup>5</sup>-ENK-GlcA 40 razy bardziej aktywny niż Leu<sup>5</sup>-ENK; ↑ selektywność

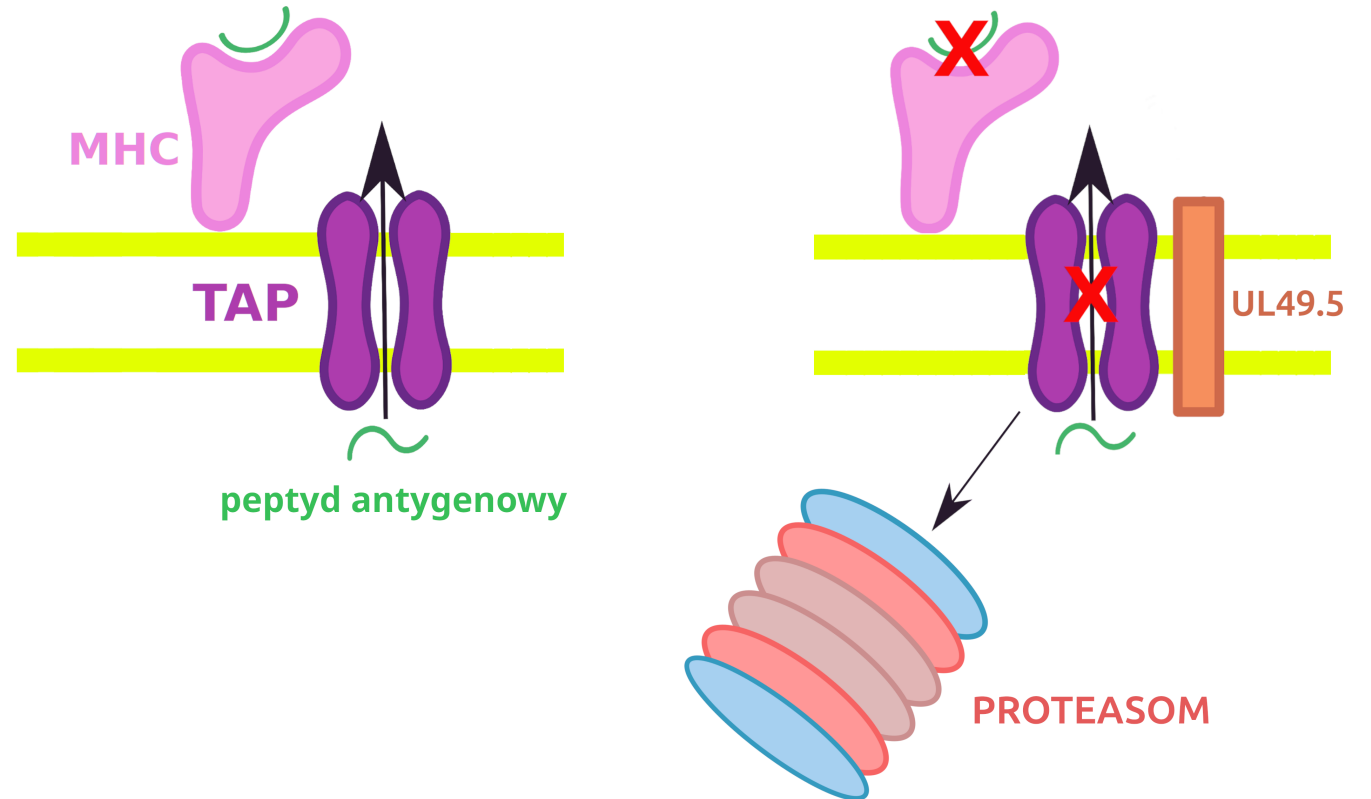
# Białko UL49.5

- białko BoHV-1 → wirusy z rodzaju *Varicellovirus* (*Alphaherpesviridae*)
- 96 reszt aminokwasowych, jednohelikalne, transbłonowe
- brak struktur eksperymentalnych

INHIBICJA TAP  
DEGRADACJA TAP

## POTENCJAŁ TERAPEUTYCZNY:

- LEKI PRZECIWWIRUSOWE
- LEKI PRZECIWNOWOTWOROWE
- PROTAC



# H6 H7

# Białko UL49.5

UL49.5 wt

E11G

RRE(9-11)GGG

RRE(9-11)AAA

**SYNTEZA PEPTYDÓW**

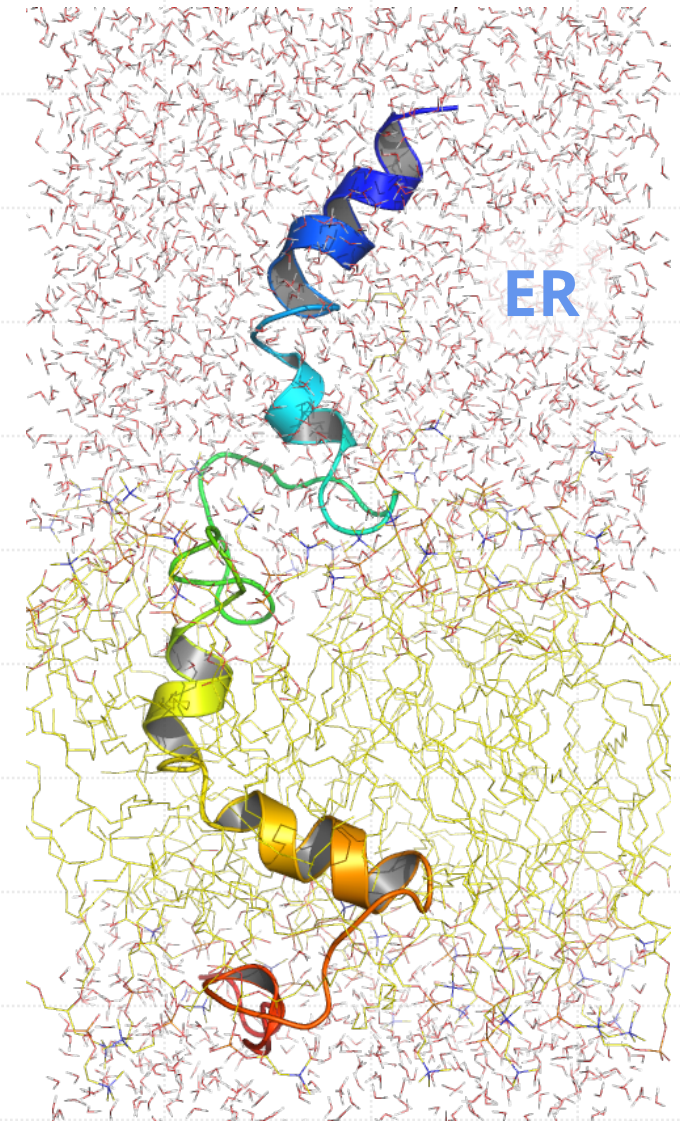
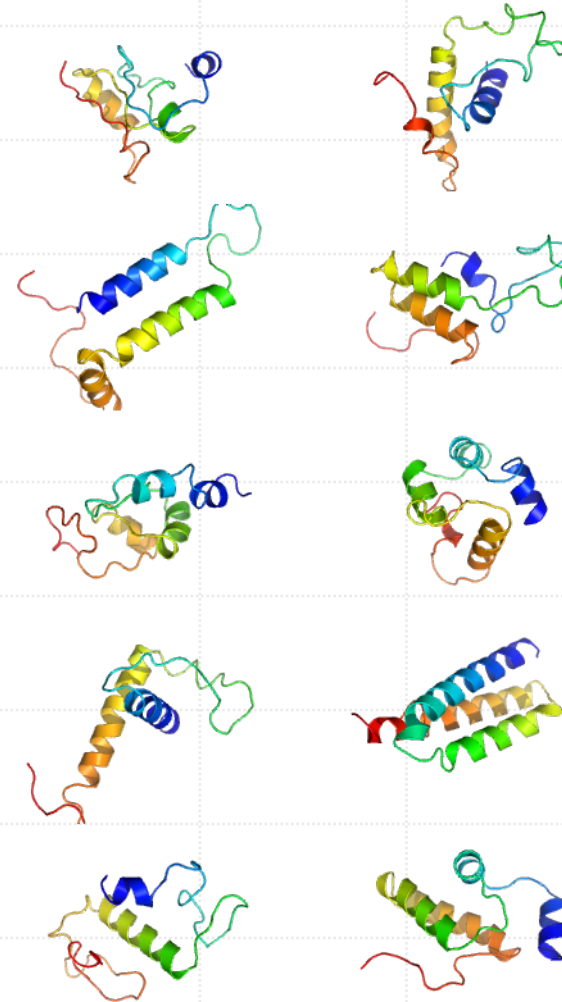
**BADANIA STRUKTURALNE PEPTYDÓW: NMR, CD**

**BADANIA ATYWNOŚCI BIOLOGICZNEJ**

**KONSTRUKCJA MODELU BIAŁKA Z PEPTYDÓW**

**KONSTRUKCJA MUTANTÓW**

**DYNAMIKA MOLEKULARNA BIAŁKA I MUTANTÓW**



# H6 H7

UL49.5

E11G

RRE(9-11)GGG

RRE(9-11)AAA

SYNTEZA PEPTYDÓW

BADANIA STRUKTURALNE PEPTYDÓW: NMR, CD

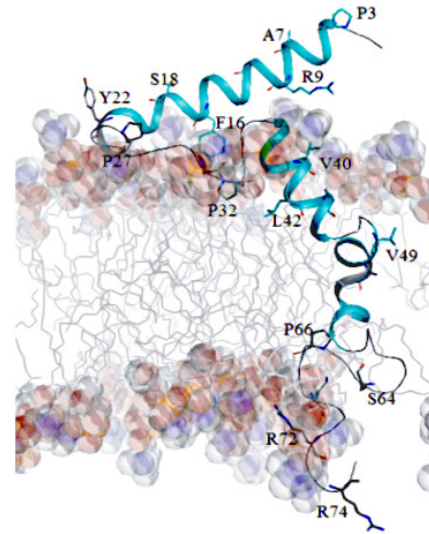
BADANIA AKTYWNOŚCI BIOLOGICZNEJ

KONSTRUKCJA MODELU BIAŁKA Z PEPTYDÓW

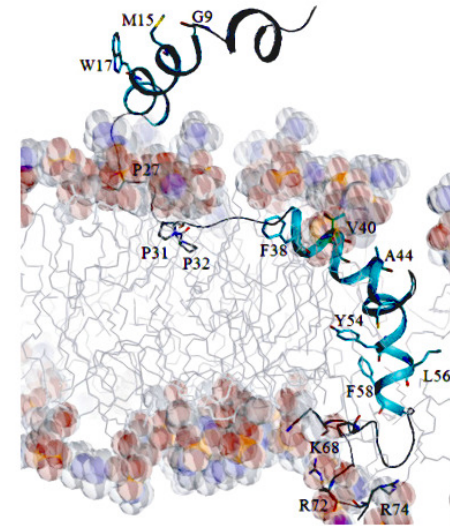
KONSTRUKCJA MUTANTÓW

DYNAMIKA MOLEKULARNA BIAŁKA I MUTANTÓW

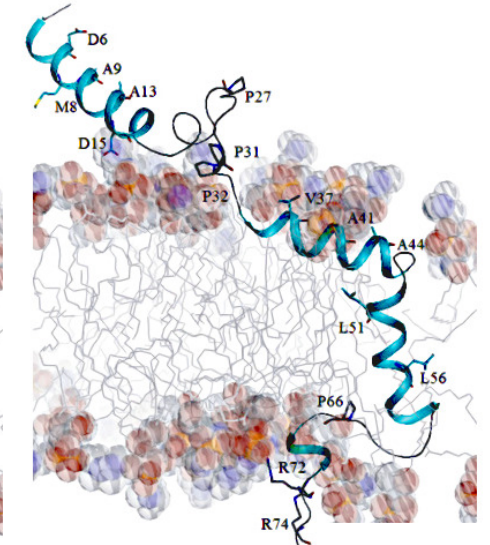
## Białko UL49.5



E11G

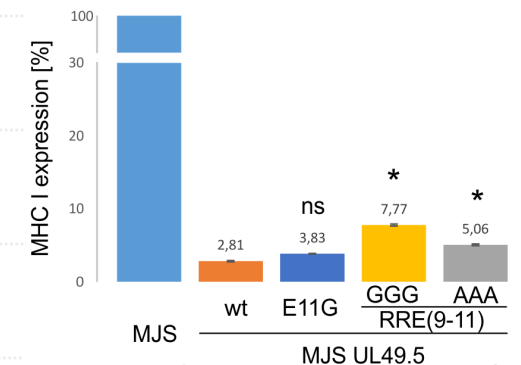


RRE(9-11)GGG



RRE(9-11)AAA

- niewielki wpływ na aktywność
- niewielki wpływ na strukturę całego białka
- większa ruchliwość domeny N-terminalnej





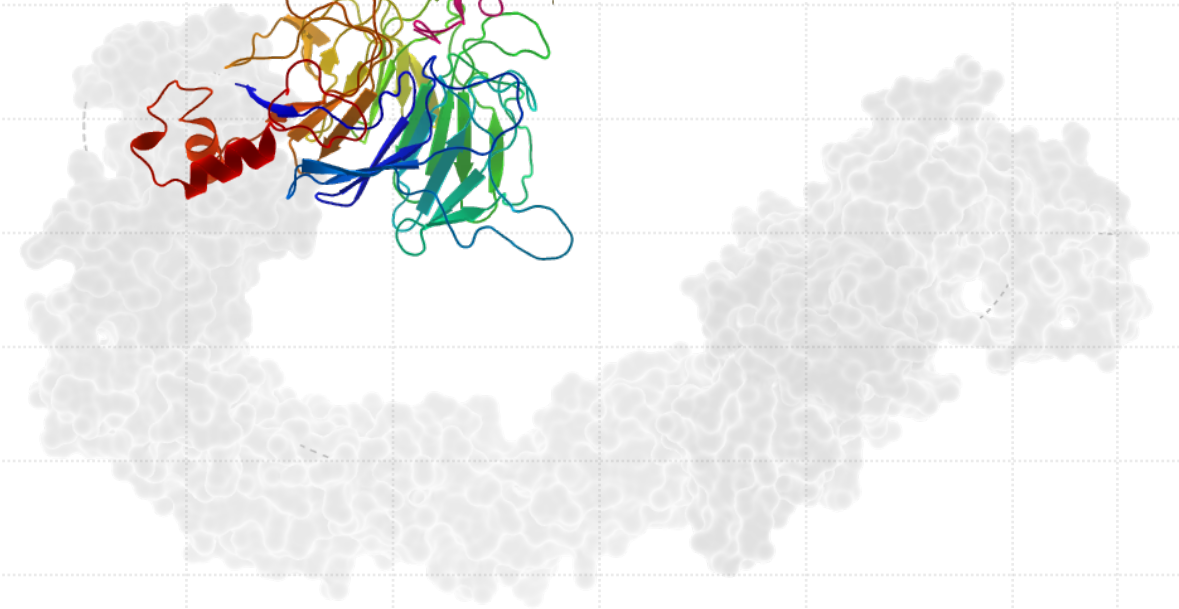
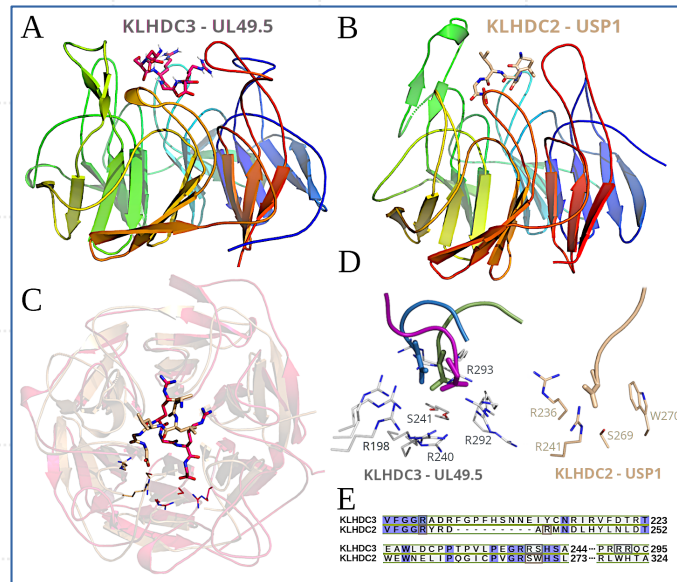
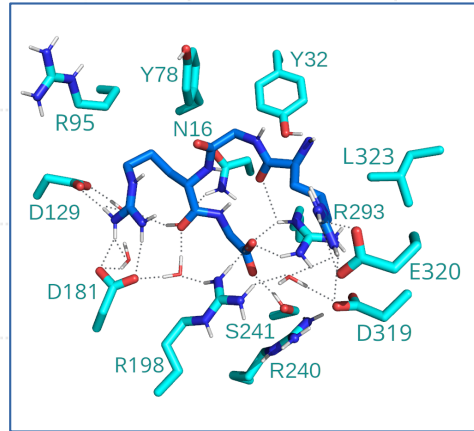
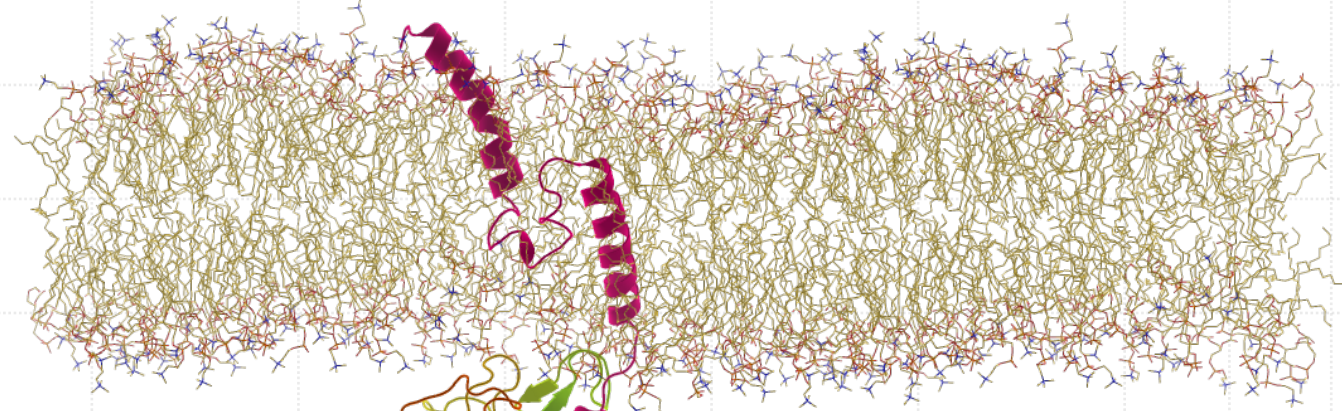
# H10

UL49.5 (87-96)

KLHDC3

- stabilna struktura kompleksu (1200 ns)
- UL49.5 → dwie helisy
- sieć polarnych oddziaływań → triada **RSR**

# Białko UL49.5



# Badania in silico struktury wybranych białek błonowych oraz specyfiki ich oddziaływania

## z biomolekułami tworzącymi z nimi kompleksy o potencjale terapeutycznym

IF: 30,153

- H1.** Ślusarz MJ Sikorska E, Ślusarz R, Ciarkowski J. Molecular docking-based study of vasopressin analogues modified at positions 2 and 3 with N-methylphenylalanine: Influence on receptor-bound conformations and interactions with vasopressin and oxytocin receptors, *Journal of Medicinal Chemistry*, 2006, 49, 2463–2469. IF = 5,115
- H2.** Ślusarz R., Sikorska E., Ślusarz M.J., Theoretical study on interactions of bicyclic vasopressin analogues with human neurohypophyseal hormone receptors, *QSAR & Combinatorial Science*, 2008, 27, 834-840. IF = 2,594
- H3.** Ślusarz R., Ślusarz M.J., An influence of the aromatic side chains conformations in positions 2 and 3 of vasopressin analogs on interactions with vasopressin and oxytocin receptors, *QSAR & Combinatorial Science*, 2009, 28, 1166-1175. IF = 3,027
- H4.** Ślusarz MJ.: Molecular modeling study of the opioid receptor interactions with series of cyclic deltorphin analogues, *Journal of Peptide Science*, 2011, 17, 554-564. IF = 1,799
- H5.** Ślusarz MJ, Sikorska E., Ślusarz R.: Interactions of vasopressin and oxytocin receptors with vasopressin analogues substituted in position 2 with 3,3'-diphenylalanine - a molecular docking study, *Journal of Peptide Science*, 2013, 19, 118-126. IF = 1,862
- H6.** Karska N., Graul M., Sikorska E., Zhukov I., Ślusarz MJ., Kasprzykowski F., Lipińska A., Rodziewicz-Motowidło S.: Structure determination of UL49.5 transmembrane protein from bovine herpesvirus 1 by NMR spectroscopy and molecular dynamics, *Biochimica et Biophysica Acta - Biomembranes*, 2019, 1861, 926-938. IF = 3,411
- H7.** Karska N., Graul M., Sikorska E., Ślusarz MJ., Zhukov I., Kasprzykowski F., Kubiś A., Lipińska A., Rodziewicz-Motowidło S.: Investigation of the effects of primary structure modifications within the RRE motif on the conformation of synthetic bovine herpesvirus 1-encoded UL49.5 protein fragments, *Chemistry & Biodiversity*, 2021, 18, e2000883. IF = 2,745
- H8.** Ślusarz MJ., Molecular insights into the mechanism of the sugar-modified enkephalin binding to the opioid receptors, *Computational Biology and Chemistry*, 2022, 101, 107783. IF = 3,100
- H9.** Ślusarz MJ, How kelch domain-containing protein 3 distinguishes between the C-end degron of bovine viral protein UL49.5 and its mutants – insights from a molecular dynamics, *Bioorganic and Medicinal Chemistry*, 2024, 109, 117795. IF = 3,300
- H10.** Ślusarz MJ, Ślusarz MJ., Lipińska AD. An intrinsic network of polar interactions is responsible for binding of UL49.5 C-degron by the CRL2KLHDC3 ubiquitin ligase, *Proteins: Structure, Function and Bioinformatics*, 2024, 92, 610-622. IF = 3,200

Liczba publikacji: 42

Sumaryczny IF: 124,204

H-index: 13/14/13 (Sc/GS/WoS)

Liczba cytowań: 480/591/449 (Sc/GS/WoS)

## STAŻ

04.2023 - 06.2023 - Wydział Farmaceutyczny Gdańskiego Uniwersytetu Medycznego

Ślusarz MJ, Neubauer D., Wiśniewska K., Kamysz W. Structural characterization of the arginine-rich gemini lipopeptides containing p-xylene or biphenyl bridge, 2023, 8th Polish-Korean Conference on "Protein Folding: Theoretical and Experimental Approaches" 24-28.09.2023, Jastrzębia Góra, Poland.

## WSPÓŁPRACA

1. Ferring Research Institute Inc, San Diego, USA (zatrudnienie w projekcie).

Ślusarz MJ., Ślusarz R., Kaźmierkiewicz R., Trojnar J., Wiśniewski K., Ciarkowski J.: Prot Pept Lett, 10, 2003, 295-302.

Ślusarz MJ., Ślusarz R., Meadows R., Trojnar J., Ciarkowski J.: QSAR Comb. Sci, 23, nr 7, 2004, 536-545.

Ślusarz MJ., Giełdoń A., Ślusarz R., Trojnar J., Meadows R., Ciarkowski J.: QSAR Comb. Sci, 24, 2005, 603-610.

2. Department of Medicine, Universite de Montreal, Montreal, Canada.

Danalache B., Gutkowska J., Ślusarz MJ., Berezowska I., Jankowski M.: Plos One, 5, 10, 2010, e13643.

3. Instituto Politécnico Nacional, Mexico City, Mexico.

Contreras-Romo M., Correa-Basurto J., Padilla-Martínez I., Martínez-Archundia M., Martínez-Ramos F., Ślusarz MJ., López-Pérez G., Quintanar-Stephano A. Med Chem Res, 23, 2014, 1581-1590.

Contreras-Romo M., Martínez-Archundia M., Deeb O., Ślusarz MJ., Ramírez-Salinas G., Garduño-Juárez R., Quintanar-Stephano A., Ramírez-Galicia G., Correa-Basurto J. Chem. Biol. Drug Des, 83, 2014, 207-223.

4. Stanford University, Stanford, USA.

Wąchalaska M., Riepe C., Ślusarz MJ., Graul M., Borowski L., Qiao W., Foltyńska M., Carette J., Bieńkowska-Szewczyk K., Szczesny R., Kopito R., Lipińska A.: PNAS, 121, 2024, e2309841121.

5. Korea Institute for Advanced Study, Seoul, Republic of Korea.

Karczyńska A., Mozolewska M., Krupa P., Giełdoń A., Bojarski K., Zaborowski B., Liwo J., Ślusarz R., Ślusarz MJ., Lee J., Joo K., Czaplewski C.: J Mol Graph Model, 83, 2018, 92-99.